

Approved For Release 2009/03/27 : CIA-RDP80T00246A006800660003-2

**Page Denied**

25X1

Next 5 Page(s) In Document Denied

Approved For Release 2009/03/27 : CIA-RDP80T00246A006800660003-2

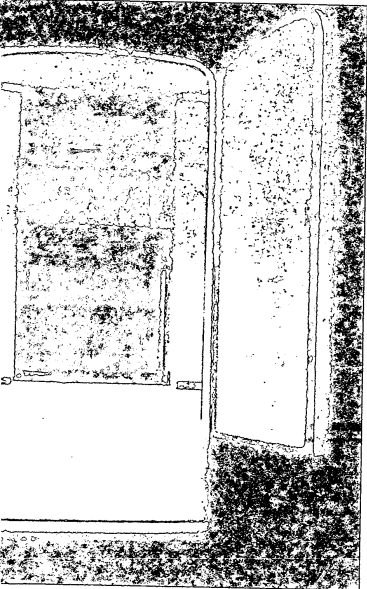
Approved For Release 2009/03/27 : CIA-RDP80T00246A006800660003-2

Academy  
Nauk  
Thermoelectric  
Home  
refrigerator

ILLEGIB

ТЕРМОЭЛЕКТРИЧЕСКИЙ  
ДОМАШНИЙ  
ХОЛОДИЛЬНИК

Fig 10



Институт полупроводников

Художественный редактор Л. С. ПОВИН  
№ 8 Т-05098 5.VI.58 г. Тираж 10 000 Заказ 546  
2-я типография Издательства АН СССР. Москва

Approved For Release 2009/03/27 : CIA-RDP80T00246A006800660003-2

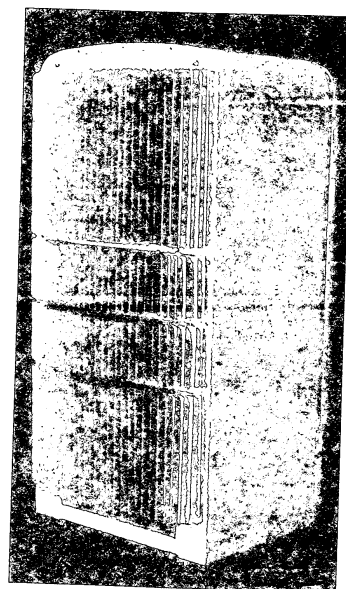
Термо  
Approved For Release 2009/03/27 : CIA-RDP80T00246A006800660003-2  
домашний холодильник

В существующих домашних холодильниках обычно используется компрессионный или абсорбционный принцип охлаждения. Наиболее распространенный метод охлаждения с использованием компрессионного агрегата обладает рядом существенных недостатков, основным из которых является наличие в системе движущихся частей (компрессор) и веществ (ф<sub>1</sub> ~ n), вызывающих коррозию. Эти два обстоятельства ухудшают эксплуатационные параметры холодильников и ограничивают их срок службы. Домашний холодильник с термоэлектрическим охлаждением свободен от указанных недостатков.

Термоэлектрическая батарея, состоящая из 45 полупроводниковых элементов, обеспечивает в объеме 90—100 л температуру от —2 до —4° С. Время разгона холодильника до получения внутри камеры стабильной температуры — 3—3,5 час.

Питание термоэлектрической батареи осуществляется от сети переменного тока 220/127 в через выпрямитель с германевыми вентилями.

Срок службы холодильника практически не ограничен.



Вид холодильника сзади.

Approved For Release 2009/03/27 : CIA-RDP80T00246A006800660003-2

elective stage  
electric  
cooling

МЕТИЛЫ

газом

Институт полупроводников

Художественный редактор Л. С. ПОЗИН

№ 16 Т-05098 5.VI.58 г. Тираж 10 000 Заказ 303

2-я типография Издательства АН СССР, Москва

Approved For Release 2009/03/27 : CIA-RDP80T00246A006800660003-2

Микроскопный преметный столик  
Approved For Release 2009/03/27 : CIA-RDP80T00246A006800660003-2  
с термоэлектрическим нагревом и охлаждением

При проведении микроскопических исследований в биологической, ботанической и кристаллографической практике часто требуется проследить ход процесса или поведения биологического объекта в различных температурных условиях.

Существующие конструкции приборов, предназначенных для подобных целей, как правило, позволяют создавать температуры выше комнатной. Исследования при температурах ниже комнатной практически трудно осуществимы из-за сложности употребляемой для этих целей аппаратуры, хотя область низких температур представляет в ряде случаев наибольший интерес.

Термоэлектрический эффект в полупроводниковых материалах позволил найти успешное решение указанной проблемы. Как известно, эффект охлаждения или нагрева в термоэлектрической паре, состоящей из полупроводниковых материалов, обусловлен направлением питающего тока. При одной полярности тока пара работает в режиме охлаждения, а при перемене полярности пара работает в режиме нагрева.

Микроскопный столик с термоэлектрическим нагревом и охлаждением позволяет изменять температуру рассматриваемого объекта в интервале от  $-7$  до  $+60^{\circ}\text{C}$ .

На пяти секторных пластинках (основание столика) смонтированы четыре термоэлектрические пары, образующие замкнутый четырехугольник. Внутри четырехугольника имеется сквозное отверстие для наблюдения объекта, помещенного на столик в проходящем свете.

В том случае, когда столик работает в режиме охлаждения, нижние секторные пластины являются «корпусами» радиаторными пластинами, отводящими тепло от термоэлектрических пар. На верхние коммутационные пластины, лежащие в одной плоскости, кладется предметное и покровное стекло, между которыми помещается исследуемый объект. Охлаждение от верхних «холодных» коммутационных пластин термоэлементов через стекло передается объекту.

Для придания столику необходимой механической прочности все его детали скреплены эпоксидной смолой.

Подключение питающего столик тока осуществляется через две клеммы, соединенные с двумя нижними коммутационными пластинами. Потребляемая столиком мощность от источника постоянного тока равна 2 вт при токе 14 а.

Габаритные размеры столика: высота — 10 мм, диаметр — 70 мм.

Вес столика — 165 г.

В ряде случаев необходимо производить микроскопические исследования при более глубоком охлаждении наблюдаемых объектов.

Микроскопный столик, обеспечивающий понижение температуры помещенного на нем объекта до  $-25^{\circ}\text{C}$ , требует водяного охлаждения горячих спаев термоэлементов.

Каналы, по которым проходит охлаждающая вода, сделаны в горячих коммутационных пластинах, образующих основание столика. На трех пластинах смонтированы два термоэлемента, холодные спай которых соединены двумя полуокруглыми коммутационными пластинами, в середине которых имеется сквозное отверстие для света, проходящего от осветителя микроскопа.

На верхней коммутационной пластине помещается предметное стекло с расположенным на нем исследуемым объектом.

Подключение питающего столик тока осуществляется через клеммы, на которых расположены штуцеры для подачи воды.

При токе 20 а столик потребляет 1,6 вт. Расход воды равен около 10 л в час.

Габаритные размеры столика: диаметр — 50 мм, высота — 15 мм. Вес столика — 112 г.

Регулировка величины нагрева или охлаждения объекта, расположенного на термоэлектрических столиках, осуществляется изменением величины питающего тока. Измерение величины температуры может быть произведено посредством гермопары или термисторного электротермометра, подсоединенных к холодным коммутационным пластинам столика.

Изменение режима работы столика с охлаждения на нагрев осуществляется переключением полярности тока.

Approved For Release 2009/03/27 : CIA-RDP80T00246A006800660003-2

1059

Институт полупроводников

Художественно-техническая редакция Л. С. ПОВАРН  
Ю ВД У-05002 5.VI.83 г. Тираж 10 000 Заказ 613  
2-й типография Полиграфиздата АИ СССР. Москва

КАДЕМИЯ  
НАУК СССР

Approved For Release 2009/03/27 : CIA-RDP80T00246A006800660003-2

## Конденсационный термоэлектрический гигрометр

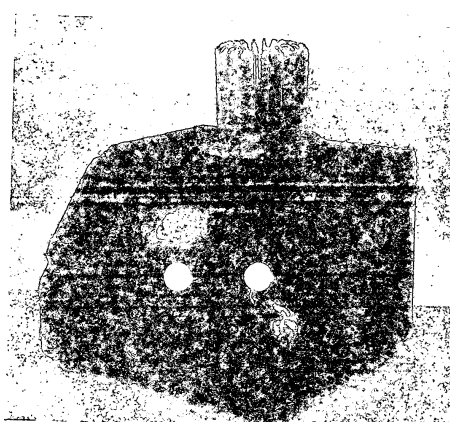
Метод определения влажности по «точке росы» является наиболее универсальным и распространенным. В многочисленных конструкциях гигрометров обычно для охлаждения поверхности конденсации используются различные охлаждающие смеси, вплоть до жидкого азота.

Использование охлаждающих сред связано с рядом эксплуатационных неудобств, что до сих пор не позволяло создать гигрометра простой конструкции. Термоэлектрический метод охлаждения открывает новые возможности в конструировании конденсационных гигрометров.

Конденсационный термоэлектрический гигрометр позволяет измерять влажность газов с температурой точки росы от +20° С до -2° С. Ошибки при измерении температуры точки росы не превышают ± 1° С.

Гигрометр состоит из шести блоков: охлаждающего устройства с поверхностью конденсации, электрометрического моста на лампе 6Ж1К, двухкаскадного магнитного усилителя, выпрямляющего устройства, вентилятора для присоса испытуемого газа и термистора для измерения температуры.

Принцип действия гигрометра основан на изменении величины поверхностного сопротивления стеклянной пластинки при выпадении на нее росы.



В момент выпадения росы происходит разбаланс электрометрического моста (одним из плеч которого является поверхность конденсации — стеклянная пластина).

Полученный сигнал после усиления магнитным усилителем размыкает реле, через который питается полупроводниковая батарея, при этом конденсат испаряется. После испарения росы реле вновь включает полупроводниковую батарею и процесс повторяется. Температура появления и исчезновения росы измеряется микротермистором, прикрепленным к поверхности конденсации.

Температура исследуемого газа измеряется другим термистором, который помещен на пути прохождения газа.

Определение температуры точки росы и исследуемого газа производится непосредственно по прибору, установленному передней панели.

Питание гигрометра производится от сети переменного тока напряжением 220 в. До начала измерений производится бесперебойка электрометрического моста и устанавливается рабочее напряжение на измерительных термосопротивлениях.

Габаритные размеры гигрометра: высота — 330 мм, ширина — 280 мм, длина — 290 мм.

Институт  
полупроводников

Художественный работник Л. С. ПОВИН  
№ 11 Т-05093 6.V.1958 г. Тираж 8000 Заказ 425  
2-я типография Издательства АН СССР. Бюджет

Радиоэлектрические  
аппараты для  
искусственного звука

ТЕРМОЭЛЕКТРИЧЕСКИЙ

ПРИБОР

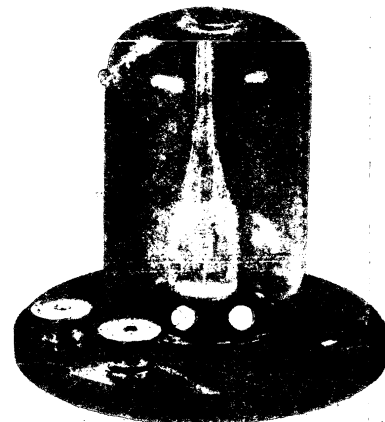
«ИСКУССТВЕННЫЙ НУЛЬ»

## ТЕРМОЭЛЕКТРИЧЕСКИЙ ПРИБОР «ИСКУССТВЕННЫЙ НУЛЬ»

В промышленной и лабораторной практике, а также при дистанционном измерении работы различных механизмов широко используется измерение температур при помощи термопар. Для определения нулевой температуры, так называемой «холодный спай термопары», можно находиться при температуре 0° С. Как правило, для этого «холодный спай термопары помещают в тающий лед. Однако в реальных условиях получение льда в ряде случаев сопряжено с определенными трудностями. При дистанционном же измерении температуры вопрос поддержания «холодного спая термопары при 0° С превращается в трудно разрешимую проблему. В связи с этим был разработан термоэлектрический прибор, позволяющий поддерживать температуру на уровне 0° С.

Принцип действия прибора заключается в следующем: во внутреннюю стеклянную ампулу прибора, отграженную от влияния внешней температуры вакуумной теплоизолационной рубашкой, заливают дистиллированная вода. Термоэлемент, соприкасающийся со своим «холодным» спаем с водой, имеет такую холодопроводительность, которая обеспечивает замерзание воды в половине объема ампулы. Таким образом, в ампуле будет находиться в равновесии лед и вода. Как известно, такое равновесное состояние соответствует температуре в 0° С. При изменении внешней температуры изменяется соотношение между количеством льда и воды в ампуле, что, однако, не приводит к отклонению температуры от уровня нуля.

Основанием прибора состоит из двух электрополированных друг от друга медных полудисков, которые одновременно являются радиаторами для отбора тепла, выделяющегося на «горячем» спае термоэлемента.



Подключение тока питателю прибора осуществляется через пластины, расположенные на горячих радиаторных пластинках.

Для придания механической прочности и электрической изоляции между собой и самой пластины части прибора смолой.

Уменьшение градиента температуры между поверхностью льда и самим термопары осуществляется посредством детали, представляющей собой никелевую манжетку, соединяющую через тонкую ножку с колодкой спаев термоэлемента.

Таким образом прибор «искусственный нуль» не только обеспечивает температуру в 0° С, но и поддерживает ее на этом уровне. С физической точки зрения процесс поддержания температуры на уровне 0° С можно объяснить тем, что изменение внешней температуры компенсируется в приборе затратой энергии на теплоту замерзания воды и таяния льда.

Поскольку термоэлемент, расположенный в приборе, некрепчен и изменение величины протекающего тока, то специальной стабилизации тока не требуется. Колебания величины протекающего тока тоже в 5-7% будут восприниматься прибором как изменения внешней температуры.

Прибор «искусственный нуль» требует для своего питания постоянный ток 20 а. Мощность, потребляемая прибором от источника питания, равна 0,5 вт.

Срок службы — неограничен.

Точность поддержания температуры на уровне 0° С при изменении внешней температуры на ±5° С равна ±0,1° С.

Габаритные размеры прибора: высота — 75 мм, диаметр — 90 мм. Вес прибора — 350 г.

Approved For Release 2009/03/27 : CIA-RDP80T00246A006800660003-2

ВСЕСОЮЗНАЯ ПРОМЫШЛЕННАЯ ВЫСТАВКА

## ФОТОСОПРОТИВЛЕНИЯ

Photoresistors



Г-06486 25/VIII-57 г

Тип. 5000

Зав. 4917

2-я типография Издательства АН СССР. Москва

# ФОТОСОПРОТИВЛЕНИЯ

Одним из видов фотодиодов, созданных на основе использования внутреннего фотоэлектрического эффекта в полупроводниках. Материалами для изготовления фотодиодов служат сульфиды таких металлов, как свинец, висмут и кадмий.

Представленные на выставке фотосопротивления доведены до промышленного выпуска в результате совместной работы ленинградских научных учреждений (ФТИ АН СССР и НИИ МРТИ).

Фотосопротивления отличаются высокой чувствительностью, в 24 000 раз превышающей чувствительность вакуумных фотодиодов.

Стабильность в работе и малые размеры привели к широкому развитию промышленной фотосопротивлической автоматики. На их основе создана аппаратура: контролирующая технологические операции при прокате металлов, включая контроль горячего проката; контрольно-сортировочные станики для пиаркоподшипниковой промышленности, разделяющие детали на 25 групп через 2 мкм; фотокопировальные станки для обработки металла по чертежам; аппаратура для счета деталей на конвейерном производстве; для контроля полного горения топлива и погасания факела в газовых турбинах; фотосопротивлические бакены; фотозащитные устройства; различные автоматы в полиграфической промышленности и многое другое.

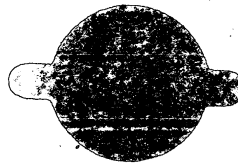
## ТЕХНИЧЕСКАЯ ХАРАКТЕРИСТИКА

Параметры фотосопротивлений	ФС-А1, ФС-А4	ФС-К1	ФС-К2
Рабочая площадь, м <sup>2</sup> . . . . .	4 . 6	4 . 7,2	4 . 7,2
Темновое сопротивление, ом . . . . .	10 <sup>4</sup> —10 <sup>5</sup>	10 <sup>7</sup>	10 <sup>6</sup>
Недельная чувствительность, мкА/лм в . . . . .	500	6000	2500
Предельное рабочее напряжение, в . . . . .	15	400	300
Среднее относительное изменение сопротивления, % . . . . .	20	99,28	97,14
Средняя кратность изменения сопротивления	1,2	140	35
Средний температурный коэффициент фототока в интервале температур 0—40 С, %/°C	1,5	0,2	0,12
Постоянная времени, сек. . . . .	4 . 10 <sup>-5</sup>	20 . 10 <sup>-3</sup>	30 . 10 <sup>-3</sup>

Approved For Release 2009/03/27 : CIA-RDP80T00246A006800660003-2

**ПОЛУПРОВОДНИКОВЫЙ  
ДАТЧИК  
ГАММА-ЛУЧЕЙ**

*Semiconductor detector of  
gamma rays*



## Полупроводниковый датчик гамма-лучей

Полупроводниковый датчик на основе поликристаллических слоев сернистого кадмия работает аналогично фотосопротивлению, т. е. изменяет свою проводимость при облучении. Схема его включения чрезвычайно проста и состоит из последовательно включенных батарей, со-

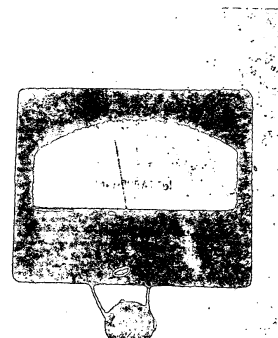
мого датчика и переносного прибора, например, микромагнетиста или реле. Чувствительность такого датчика к  $\gamma$ -лучам  $\text{Co}^{60}$  и его инерционность могут характеризоваться следующими данными, сведенными в таблицу (данные для одного из образцов при напряжении 10 в).

Мощность дозы рентген/час	Ток, мма	Время нарастания до 80% стационарного значения $T_1$	Время спадания тока на 80% стационарного значения $T_2$
0(темнота)	0,1		
2	28	15 ми.	40 ми.
8	115	1,5 "	10 сек.
50	670	30 ( )	5 ( )

Инерционность датчика при малых мощностях доз (2 рентген/час) может быть уменьшена в несколько раз предварительным облучением. Такого рода зависимость показаний датчика от его «предистории» препятствует пока его использованию в

измерительной дозиметрической аппаратуре. Однако как индикатор  $\gamma$ -лучей полупроводниковый датчик сможет, вероятно, найти применение уже в настоящее время,

Approved For Release 2009/03/27 : CIA-RDP80T00246A006800660003-2



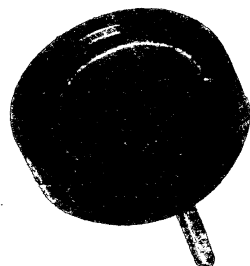
КРЕМНИЕВЫЙ  
ПРЕОБРАЗОВАТЕЛЬ ЭНЕРГИИ  
СОЛНЕЧНОГО ИЗЛУЧЕНИЯ  
В ЭЛЕКТРИЧЕСКУЮ ЭНЕРГИЮ

*Silicon converter  
of solar to  
electrical  
energy*

## Кремниевый преобразователь энергии солнечного излучения в электрическую энергию

Преобразователь энергии солнечного излучения в электрическую представляет собой кремниевый фотодиод с электронно-дырочным переходом. Электронно-дырочный переход осуществлен диффузной сурьмы в кремний с дырочной проводимостью. Фотодиод предназначен для прямого превращения энергии солнечного излучения в электрическую с высоким коэффициентом полезного действия и может служить источником электрического тока. Параметры таких преобразователей следующие. Коэффициент полезного действия может достигать 11% при токах 25—30 мА/см<sup>2</sup> и напряжении разомкнутой цепи около 0,5 в при излучении его солнцем в ясный летний день.

Фотодиоды изготавливаются либо в виде шайб диаметром 20—25 мм, либо в виде пластинок размером 15 × 50 мм. Соединяя фотодиоды последовательно и параллельно в солнечные батареи, можно получить с 1 м<sup>2</sup> рабочей поверхности батареи выходную мощность 100 вт в ясный солнечный день.



Солнечная батарея может служить источником питания различных маломощных телефонных и радиоустройств. Максимальный коэффициент полезного действия у фотодиода при напряжении на нагрузке 0,3 в и величина этого оптимального выходного напряжения не зависит от интенсивности освещения в широких пределах. Поэтому при помощи батареи можно заряжать аккумуляторы.

АКАДЕМИЯ НАУК СССР  
ЛЕНИНГРАДСКИЙ ФИЗИКО-ТЕХНИЧЕСКИЙ ИНСТИТУТ

Approved For Release 2009/03/27 : CIA-RDP80T00246A006800660003-2

ВСЕСОЮЗНАЯ ПРОМЫШЛЕННАЯ ВЫСТАВКА

термические резисторы

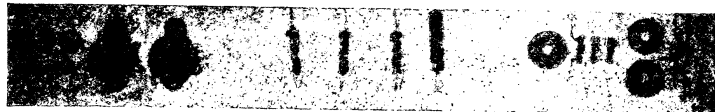
## ТЕРМОСОПРОТИВЛЕНИЯ

## ТЕРМОСОПРОТИВЛЕНИЯ

Полупроводниковые термочувствительные сопротивления отличаются большими значениями температурного коэффициента, который достигает  $6\text{ }^{\circ}\text{C}$  (у металлов он около  $0,5\text{ }^{\circ}\text{C}$ ).

Представленные на данной выставке термосопротивления доведены до промышленного выпуска в результате совместной работы Ленинградского физико-технического института АН СССР и Научно-исследовательского института Министерства радиотехнической промышленности СССР.

Изготавливаются термосопротивления из окислов меди, марганца, кобальта, никеля и других металлов. На их основе создан ряд конструктивных вариантов, представленных на выставке. Благодаря своим малым размерам и стабильности в работе они нашли широкое применение в термометрии, в тепловом контроле, автоматике и других областях техники. Полупроводниковые термосопротивления также широко применяются для компенсации температурной зависимости электрического сопротивления металлов. Наша отечественная промышленность уже несколько лет назад начала выпускать электроизмерительные приборы с температурной компенсацией на термосопротивлениях.



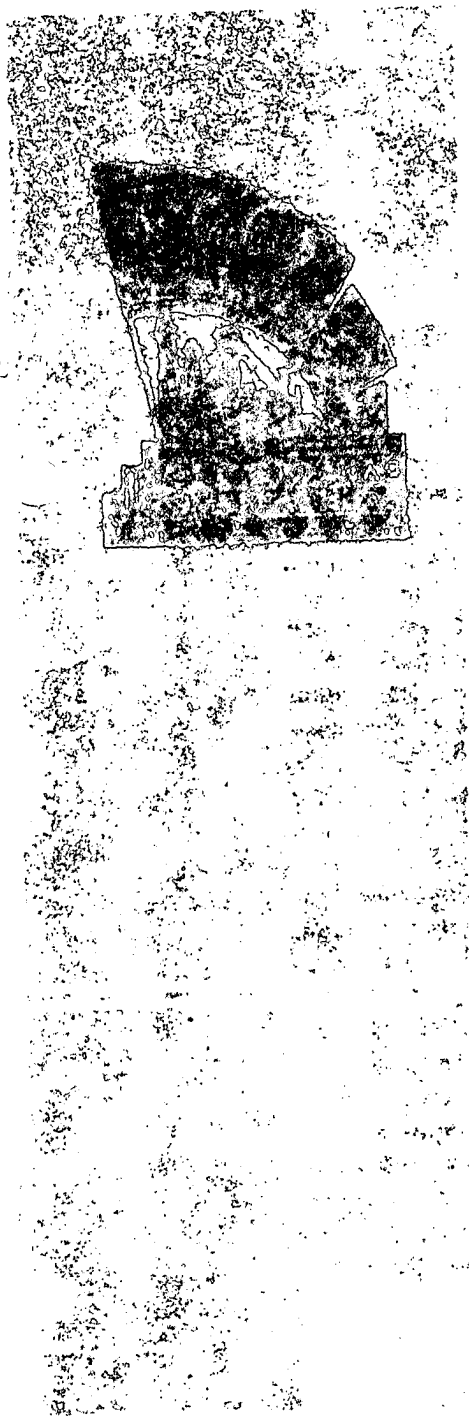
### ТЕРМОСОПРОТИВЛЕНИЯ ММТ-1, ММТ-4, КМТ-1 и КМТ-4

Параметр	Тип термосопротивления			
	ММТ-1	ММТ-4	КМТ-1	КМТ-4
Диапазон величин номинальных сопротивлений, ом . . . . .	1—200		20—1000	
Допускаемое отклонение от номинального значения, % . . . . .	$\pm 20$		$\pm 20$	
Разброс по величине температурного коэффициента для партии термосопротивлений одного номинала, $^{\circ}\text{C}$ . . . . .	$\pm 0,2$		$\pm 0,2$	
Постоянная, градусы . . . . .	2060—2920		3860—5150	
Максимальная рабочая температура, $^{\circ}\text{C}$ . . . . .	+120		+180	
Максимально допустимая мощность, $\text{вт}$ . . . . .	0,4		0,8—0,9	
Мощность рассеивания, практически не вызывающая разогрева термосопротивлений, $\text{вт}$ . . . . .	0,002—0,005		0,002—0,005	
Постоянная времени в воздухе, сек. . . . .	85   115		85   115	

### ТЕРМОСОПРОТИВЛЕНИЯ ММТ-8 и ММТ-9

Термосопротивления ММТ-8 и ММТ-9 предназначаются для температурной компенсации различных элементов электрической цепи, работающих в широких интервалах температур.

Параметр	ММТ-8	ММТ-9
Диапазон величин номинальных сопротивлений, ом . . . . .	1—1000	10—5000
Количество полупроводниковых шайб в комплекте, шт. . . . .	1—3	
Допускаемое отклонение от номинального значения, % . . . . .	$\pm 20$	$\pm 20; \pm 10; \pm 5$
Температурный коэффициент сопротивления (при $20^{\circ}\text{C}$ ), $^{\circ}\text{C}$ . . . . .	От —2,4 до 3,4	
Постоянная, градусы . . . . .	2060—2920	
Интервал рабочих температур, $^{\circ}\text{C}$ . . . . .	От —40 до +60	От —60 до +125
Вес, г . . . . .	12—21	1,5—3,0 (каждая шайба)



Germanium coated?  
photodiode

Германиевые  
плоскостные  
фотодиоды



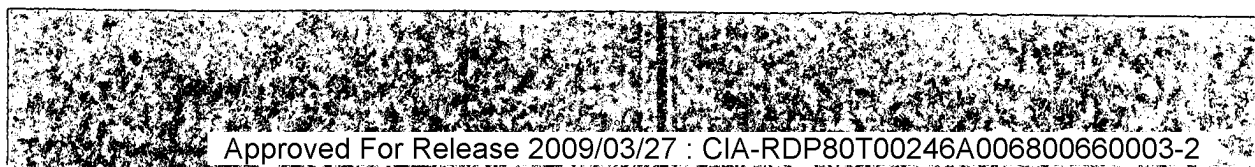


## Германиевые плоскостные фотодиоды

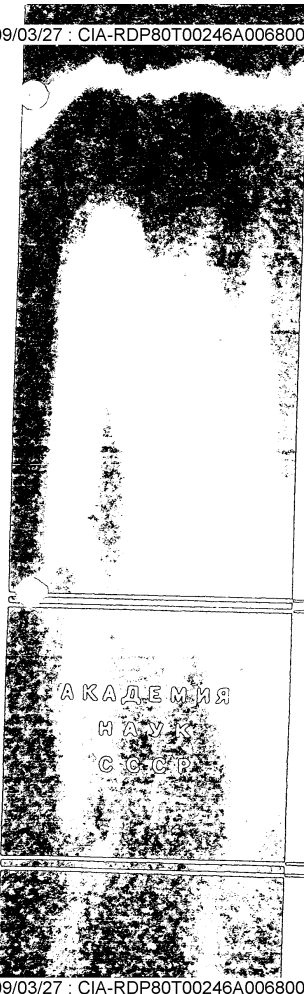
Германиевый фотодиод является новым типом вентильного полупроводникового фотоэлемента, способного работать в так называемом фотодиодном режиме, т. е. с приложенным внешним напряжением.

Фотодиод представляет собой открытую для доступа света пластинку германия, на которой создан  $p-n$ -переход, т. е. плотно контактирующие друг с другом  $p$ - и  $n$ -германий. При освещении пластины (обычно это  $n$ -германий) генерируемые светом дырки, достигая  $p-n$ -перехода, уходят в  $p$ -область, заряжая ее положительно. Пластина же заряжается отрицательно. Так возникает вентильная фото-э.д.с. При приложении запорного напряжения (до 100—150 в) (плюс к  $n$ -германию, минус к  $p$ -германию) течет темновой ток, слабо зависящий от напряжения. При освещении пластины ток увеличивается пропорционально освещенности. С последовательно включенного в цепь сопротивления можно снимать сигнал, по величине приближающийся к напряжению источника питания. Германиевые фотодиоды являются в настоящее время наименее инерционными полупроводниковыми фотоэлементами (постоянная времени релаксационного процесса приблизительно равна  $10^{-5}$  сек.). Их чувствительность достигает 30 ма на люмен. Красная граница чувствительности лежит около 1,8 мк.

ЛЕНИНГРАДСКИЙ ФИЗИКО-ТЕХНИЧЕСКИЙ ИНСТИТУТ



Approved For Release 2009/03/27 : CIA-RDP80T00246A006800660003-2



Советская Физика

ГЕРМАНИЕВЫЙ ТИРАТРОН

В основе действия лежит способность неидеального  $n-p$ -перехода усиливать ток износившихся искелей. Использование такого сплавного  $n-p$ -перехода в качестве коллектора позволяет получить триод, имеющий в схеме с заземленной базой коэффициент усиления по току  $\alpha > 1$ . Подача небольшого смещения в запорном направлении на эмиттер позволяет получить в цепи коллектора область отрицательного сопротивления, т. е. переход от состояния с малыми токами и большими напряжениями к состоянию с большими токами и малыми напряжениями. Эти свойства аналогичны свойствам обычного тиатрона, поэтому такой прибор нами назван полупроводниковым тиатроном.

В настоящее время получены образцы типа  $p-n-p$  и  $n-p-n$  со следующими параметрами.

1. Напряжение зажигания регулируется от нескольких вольт до 150—250 в.

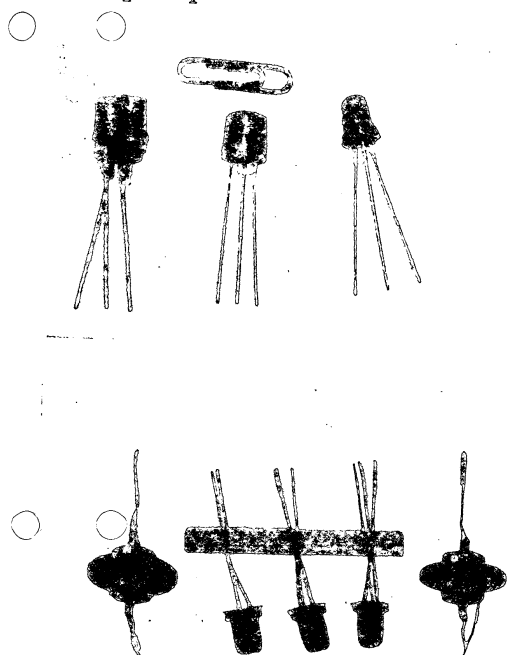
2. Токи после «зажигания» могут достигать 50—70 мА в одной конструкции и 200 мА в другой.

3. Фронт генерируемых импульсов находится в пределах 0,1—0,3 мксек.

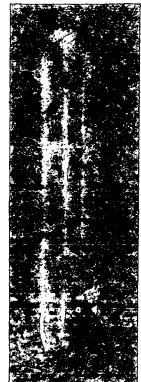
4. Напряжение запирющего смещения доходит до 4—5 в.

Полупроводниковые тиатроны должны получать широкое применение в импульсных схемах, в схемах быстродействующих переключателей, в счетных машинах и других устройствах.

По сравнению с обычными тиатронами они обладают всеми преимуществами полупроводниковых приборов: меньшей потребляемой мощностью, большей долговечностью, меньшими размерами и т. д.



Approved For Release 2009/03/27 : CIA-RDP80T00246A006800660003-2



*Glass tape засії conductor*

**СТЕКЛОБРАЗНЫЕ  
ПОЛУПРОВОДНИКИ**

*Fiduc?*

АКАДЕМИЯ СССР

## Стеклообразные полупроводники

Новая группа полупроводниковых материалов открыта при изучении свойств сложных полупроводниковых материалов.

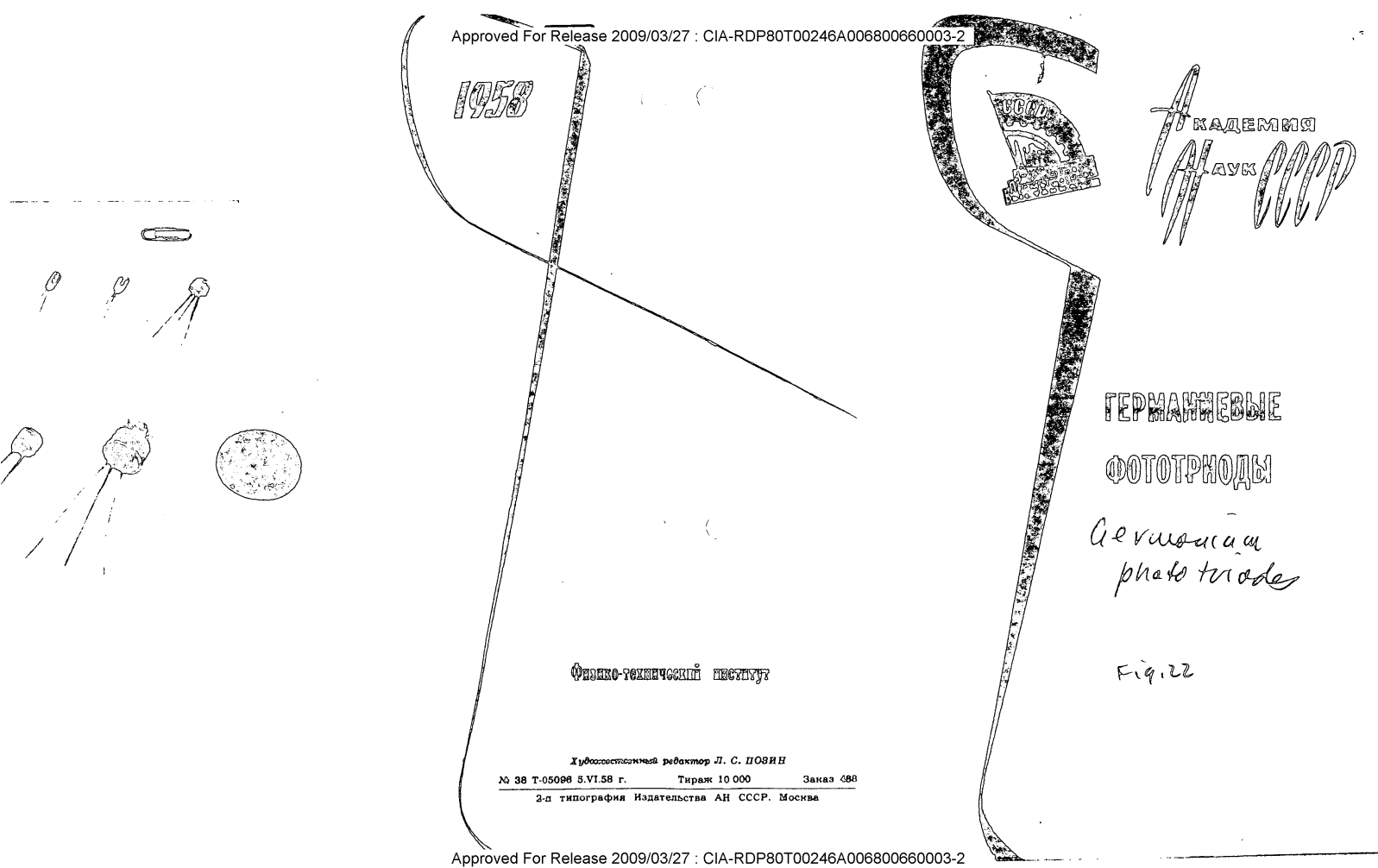
Эта группа полупроводников сочетает в себе свойства двух классов веществ — стекол и полупроводников. Со стеклами их объединяют такие свойства, как отсутствие кристаллической структуры и температуры плавления, вязкость и оптические свойства (прозрачность — в широком диапазоне волн 1 — 15 мк и выше). По электрическим же свойствам они являются типичными электронными полупроводниками. В них наблюдается внутренний фотoeffekt и термоэлектротривущая сила;

величина проводимости достигает  $10^{-3}$  см<sup>-1</sup> см<sup>-1</sup>, и температурная зависимость ее подчиняется обычному экспоненциальному закону.

В настоящее время данные материалы представляют значительный интерес для физики твердого тела. Нет сомнения, что по мере изучения их свойств будут установлены и области их практического применения. Но уже и сейчас можно сказать, что они могут найти себе полезное место в опт. для работы в инфракрасной области спектра и во всех тех случаях, когда от вещества требуется высокая однородность при достаточно высокой проводимости.

ЛЕНИНГРАДСКИЙ ФИЗИКО-ТЕХНИЧЕСКИЙ ИНСТИТУТ

Approved For Release 2009/03/27 : CIA-RDP80T00246A006800660003-2



Художественный редактор Л. С. ПОЗИН  
№ 38 Т-05096 5.VI.58 г. Тираж 10 000 Заказ 488  
2-я типография Издательства АН СССР. Москва

Approved For Release 2009/03/27 : CIA-RDP80T00246A006800660003-2

Германиевые фототриоды являются полупроводниковыми фотодиодами с весьма высокой чувствительностью (несколько а/лм) при относительно малой инерционности (постоянная времени  $\sim 10^{-5}$  сек.). По своей конструкции, технологии изготовления и некоторым свойствам фототриоды аналогичны уже широко известным фотодиодам.

Существенное отличие фототриодов от фотодиодов заключается в наличии у них второго электронно-дырочного перехода. При освещении базового слоя фототриода в нем возникает объемный заряд, приводящий к изменению разности потенциалов между эмиттером и базой и возрастанию тока. Небольшое изменение заряда, связанное с освещением, сильно изменяет протекающий ток. Этот эффект лежит в основе так называемого внутреннего усиления фототриодов, благодаря которому чувствительность прибора возрастает по отношению к фотодиодам во много десятков раз. Наличие второго электронно-дырочного перехода исключает возможность использования фототриода в качестве вентильного фотодиода.

Свое название фототриод получил потому, что у него имеется, как и у германевого транзистора, три контактирующие области германия с различным типом проводимости, а также он обладает усиительными свойствами. Однако схема включения фототриода не отличается от схемы включения фотодиода и состоит из последовательно соединенных ~~и~~ чинка стоящего напряжения, измерительного прибора (амперметра сопротивления нагрузки) и самого фотодиода. В соответствии с этим фототриод имеет два вывода для включения в цепь.

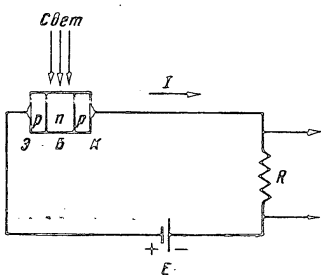
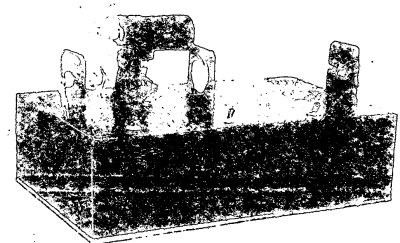


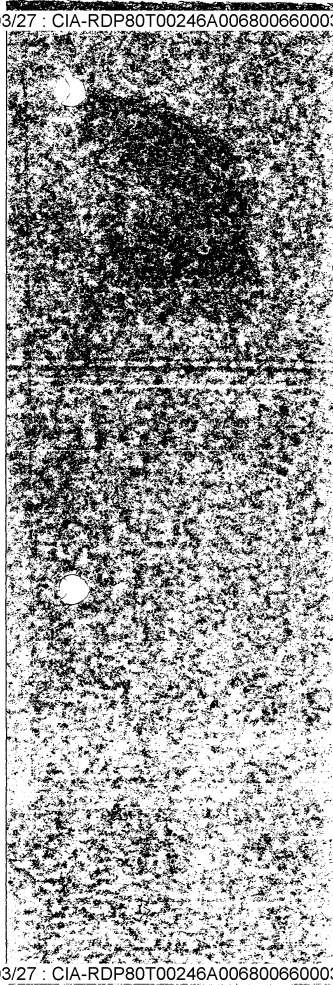
Схема включения фототриодов.



Установка для сравнения параметров фототриодов и фотодиодов.

#### ТИПОВЫЕ ХАРАКТЕРИСТИКИ ЛАБОРАТОРНЫХ ОБРАЗЦОВ ФОТОТРИОДОВ ЛФТИ АН СССР

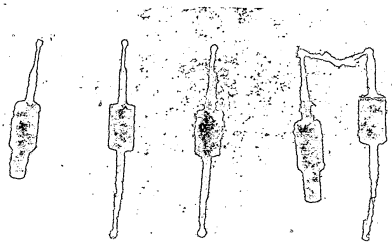
1. Чувствительность — 1–4 а/лм.
2. Инерционность определяется постоянной времени  $\sim 10^{-5}$  сек.
3. Максимум спектральной чувствительности лежит у 1,5 мк.
4. Темновой ток (при 20°C) 500–700 мкА.



*Silicon coated  
rectifier*

КРЕМНИЕВЫЕ  
ПЛОСКОСТНЫЕ  
ВЫПРЯМИТЕЛИ

Fig. 21



АКАДЕМИЯ НАУК ССР

Кремниевые плоскостные выпрямители

Кремниевые плоскостные выпрямители, полученные методом сплавления, представляют собой кремниевую пластину размером в несколько квадратных миллиметров и толщиной несколько десятых миллиметра сплавленными с противоположных сторон металлическими контактами, создающими выпрямляющие и токоотводящие контакты. Пластина заключена в герметичный фарфоровый корпус с то-кооудиционными латунными вводами.

Выпрямители предназначены для использования при высоких температурах (до 200° С).

ПАРАМЕТРЫ ВЫПРЯИТЕЛЕЙ

Выпрямленный ток 3 до 5 ампер.

Обратное напряжение 50 вольт.

Обратный ток насыщения  $10^{-8}$ — $10^{-10}$  а,

при  $T = 25^\circ \text{C}$ .

Обратный ток при напряжении 75 в — ме-  
нее 1 макроампера при  $T = 25^\circ \text{C}$ .

Approved For Release 2009/03/27 : CIA-RDP80T00246A006800660003-2



Approved For Release 2009/03/27 : CIA-RDP80T00246A006800660003-2

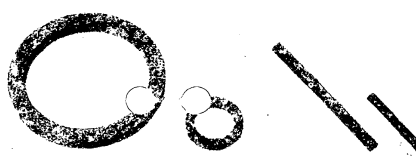
## Электроакустические преобразователи из ферритов

Новые магнитные материалы — ферриты — могут служить для изготовления электроакустических магнитострикционных преобразователей. От широко применяемых в настоящее время магнитострикционных преобразователей стержневого типа или набранных из пластин никеля или специальных сплавов ультразвуковые ферритовые преобразователи отличаются малыми потерями на токи Фуко. Вследствие этого повышается их к. п. д., расширяется вверх частотный диапазон и становится возможным применение магнитных сердечников.

Ферриты для электроакустических преобразователей изготавливаются из окислов металлов (окись железа, окись никеля, окись цирка). По механическим свойствам и технологии изготовления они близки к керамике.

Изготовление ферритов проще и дешевле и не требует таких дефицитных материалов, как никель, пермандюр и др.

Возможно также применение ферритов в качестве магнитострикционных приемников ультразвука.



Образцы стержней и ячеек из ферритов, на которых измеряются магнитные, магнитострикционные и механические параметры материала.



Опытные излучатели из феррита никеля. Резонансные частоты — 20, 30 и 45 герц, коэффициент полезного действия 60—70%, удельная акустическая мощность при работе в импульсном режиме достигает 5—6 вт/см<sup>2</sup>.

СССР

### Electro-acoustic Convertors from Ferrites

New magnetic materials - the ferrites - may serve for the preparation of electro-acoustic magnetostrictive converters. Ultrasonic ferrite converters are distinguished from the presently widely used magnetostrictive converters of the rod type or those composed of layers of nickel or special alloys by small ~~maximum~~ eddy current losses. As a consequence of this their performance is increased, their frequency band is broadened and the use of massive cores becomes possible.

Ferrites for electro-acoustic converters are prepared from oxides of metals (iron oxide, nickel oxide, zinc oxide). As far as mechanical properties and technology of preparation goes they resemble ceramics.

The preparation of ferrites is simpler and cheaper and does not require such difficult to obtain materials as nickel, permendur and others.

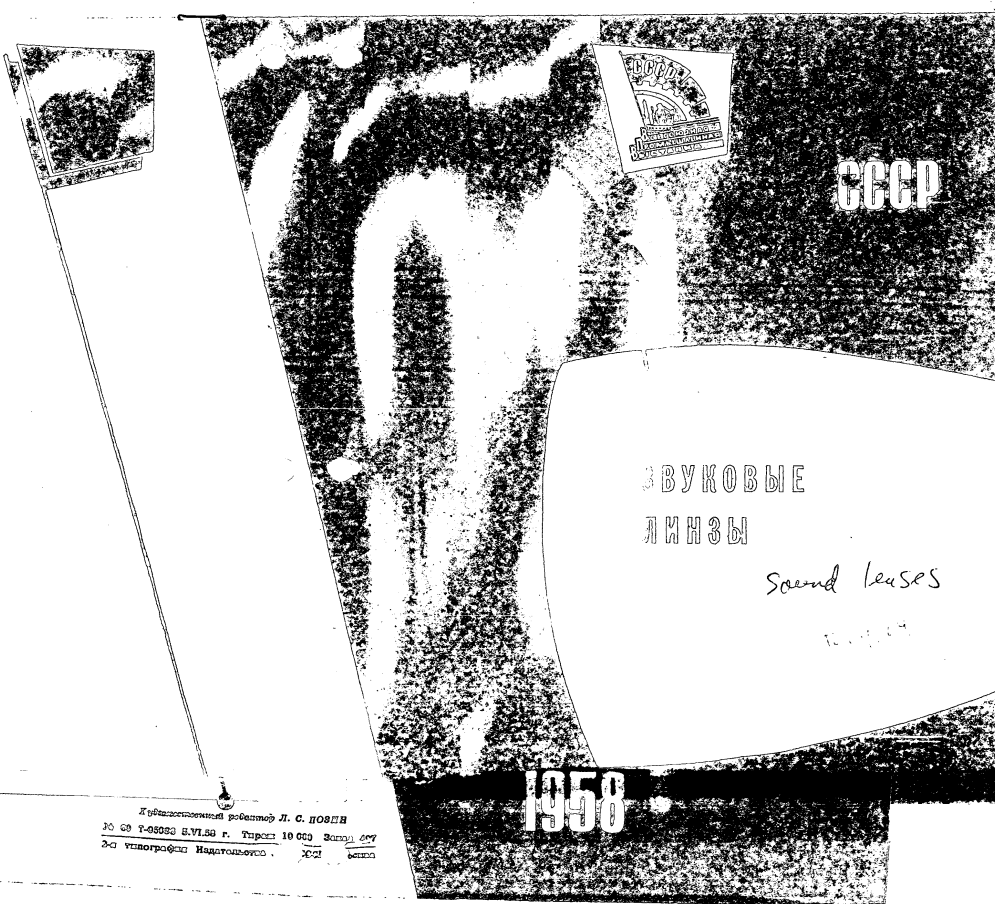
The use of ferrites as magnetostrictive ultrasonic receivers is also possible.

#### Top figure -

Samples of ferrite rods and rings on which the magnetic, magnetostrictive and mechanical parameters of the material are measured.

#### Lower figure -

Experimental nickel ferrite radiators. Resonance frequencies - 20, 30 and 45 kc, efficiency - 60-70%, specific acoustic power during operation in the impulse regime reaches 5-6 watts/cm<sup>2</sup>.



## ЗВУКОВЫЕ ЛИНЗЫ



Рис. 1.



Рис. 2.



Рис. 3.

Звуковые линзы используются для получения изображений в дефектоскопии и для усиления воздействия ультразвуковых волн на вещества в различных лабораторных и промышленных установках.

Линзы, применяемые для звуковых волн, распространяющихся в жидкости, могут быть сделаны из самых разнообразных жидкостей и различных твердых материалов: — пластмасс, ме-

таллов, мрамора и т. д. Звуковые твердые линзы из пластмасс могут быть использованы только при интенсивностях не больше  $1 \text{ Вт}/\text{см}^2$  и на частотах ниже 2 МГц (см. рис. 1).

При больших интенсивностях и на более высоких частотах следует применять металлические линзы (рис. 2).

В тех случаях, когда на границе металлической линзы и жидкости коэффициент отражения достигает 0,8—0,9, с целью

его уменьшения рабочие поверхности линзы покрываются «просветляющим» слоем (рис. 3).

Алюминиевая «просветленная» линза показана на рисунке. Просветляющие слои из бензилового лака нанесены с двух сторон.

При этом количество проходящей энергии увеличивается почти в девять раз.

### Sonic Lenses

Sonic lenses are used for obtaining images in defectoscopy and for amplifying the effect of ultrasonic waves on substances in various laboratory and industrial equipment.

Lenses, which are applicable for sonic waves radiated in liquids, may be made from various liquid and solid materials: - plastics, metal, marble, etc. ~~Minx~~ Solid sonic lenses of plastic may be used only up to intensities not greater than 1 watt/cm<sup>2</sup> and at frequencies near 2 mc (see Fig. 1).

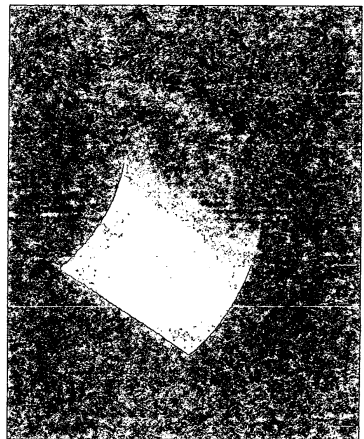
For greater intensities and higher frequencies it is necessary to use metallic lenses (Fig. 2).

In those cases when the coefficient of reflection reaches 0.8-0.9 at the boundary of the metallic lens and the liquid the working surfaces of the lens is covered with "clarifying" layers in order to reduce it (Fig. 3).

An aluminum "clarifying" lense is shown in the picture. Clarifying layers of becelite lacquer are applied to both sides.

In addition the quantity of energy passed is increased nearly nine times.

Approved For Release 2009/03/27 : CIA-RDP80T00246A006800660003-2 *Piezo elements of barium titanate*



1975  
ПЬЕЗОЭЛЕМЕНТЫ

ИЗ КЕРАМИКИ

ТИТАНАТА БАРИЯ

Approved For Release 2009/03/27 : CIA-RDP80T00246A006800660003-2

### Пьезоэлементы из керамики титаната бария

На стенде представлены различные пьезоэлементы из порошкообразного титаната бария. Серебряные электроды нанесены методом вакуумной

Все пьезоэлементы полированные способом горячей полировки при температуре выше точки Кюри в масляной ванне.



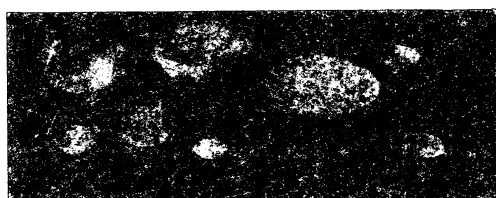
Плоские пьезоэлементы



Цилиндрические пьезоэлементы



АКАДЕМИЯ НАУК СССР

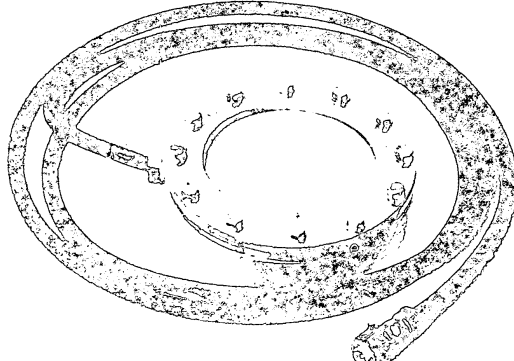


Фотография пьезоэлементов в виде полуцилиндров в вакууме

ВСЕСОЮЗНАЯ ПРОМЫШЛЕННАЯ ВЫСТАВКА

*Sound of masters of basismaterials*  
ИЗЛУЧАТЕЛИ ЗВУКА  
ИЗ КЕРАМИКИ ТИТАНАТА БАРИЯ.

17

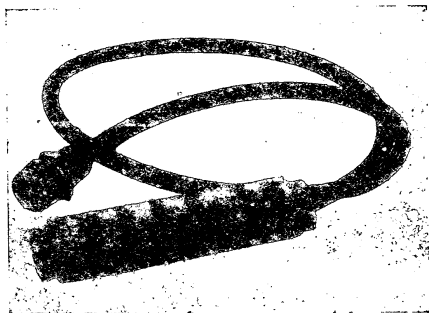


10180-25.11.37.75

Приложение

документ

Фото фотография Цветокомпания АИССР Р. М.



Трубчатый излучатель, излучающий вдоль оси на частоте резонанса 40 кгц

## ИЗЛУЧАТЕЛИ ЗВУКА ИЗ КЕРАМИКИ ТИТАНАТА БАРИЯ

Ультразвуковые излучатели из керамического титаната бария представлены двумя типами:

- 1) плоским односторонним;
- 2) трубчатым, излучающим вдоль оси.

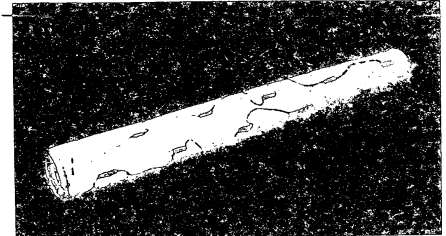
На обложке изображен плоский односторонний ультразвуковой излучатель с резонансной частотой 250 кгц.

Диаметр излучающего пьезоэлемента 120 мм;  
толщина пьезоэлемента 10 мм;

емкость пьезоэлемента 11 500 мкмкф.

Излучению назад препятствует воздушный зазор.

Трубчатый ультразвуковой излучатель позво...т при небольших попеченных ...мерах...дать острую характеристику направленности. При применении небольшого экрана на одном конце излучателя (размер экрана порядка 2-3 длины волны) преобразователь излучает вдоль оси в одну сторону.



Пьезоэлемент трубчатого излучателя на частоту 25 кгц

### Ceramic Barium Titanate Sound Generators

There are two types of ceramic barium titanate ultrasonic generators:

(1) plane unilateral

(2) tubular, with radiation along the axis.

On the cover is illustrated a plane unilateral ultrasonic generator with a resonance frequency of 250 kc.

The diameter of the radiating piezoelement is 120 mm; the thickness is 10 mm; capacity is 11,500 micromicrofarads.

Backward radiation is prevented by an air gap.

The tubular ultrasonic radiator permits sharp directional characteristics with small cross-sectional dimensions. With the use of a small screen on one end of the radiator (the dimensions of the screen being of the order of 2-3 wave lengths) the converter radiates along the axis to one side.

Left figure -

Tubular radiator which radiates along the axis at a resonance frequency of 40 kc.

Right figure -

Piezoelement of a tubular radiator for a frequency of 25 kc.

*Soviet Academy of Science*

АКАДЕМИЯ НАУК СССР



*Production of  
Barium titanate ceramics  
in the Soviet Union*

*Год издания*

## ПРОИЗВОДСТВО

ПЬЕЗОЭЛЕКТРИЧЕСКОЙ

КЕРАМИКИ

ТИТАНАТА БАРИЯ

## Производство пьезоэлектрической керамики титаната бария

Керамический титанат бария получается синтезированием углеродистого бария (ГОСТ В-214950) и двуокиси титаната (ТУ МХП 410-55) в присутствии окиси алюминия (ТУ-2063-49).

Синтез (утяжеленный обжиг) проходит при  $t = 1380 - 1400^\circ\text{C}$ . Окончательный обжиг при  $t = 1400^\circ\text{C}$ . Полировка в горячей масляной ванне при температуре выше точки Кюри.

Основные данные пьезокерамики.

1. Плотность  $5,7 \text{ г}/\text{см}^3$ .
2. Точка Кюри  $+123^\circ\text{C}$ .
3. Тангенс угла диэлектрических потерь (при комнатной температуре)  $0,03 - 0,05$ .
4. Диэлектрическая проницаемость (при комнатной температуре)  $1200 - 1400$ .
5. Пьезомодуль  $d_{33} = 3,6 \cdot 10^{-6}$ .

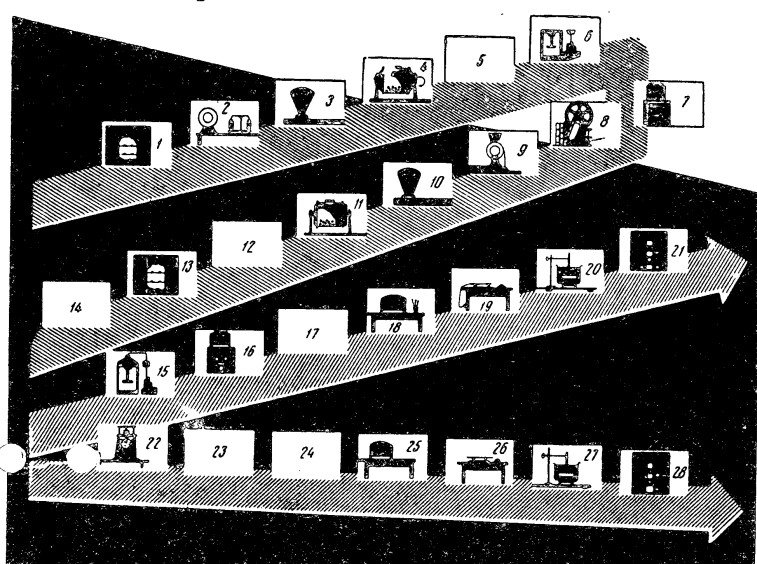


Схема производства

### Production of Piezoelectric Ceramics of Barium Titanate

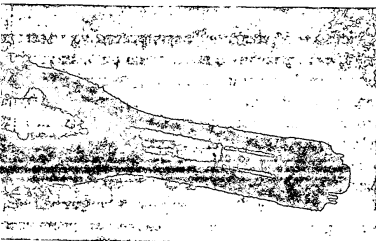
Ceramic barium titanate is obtained by the synthesis of barium carbonate (GOST 214950) titanate dioxide (TU MKhP 410-55) in the presence of aluminum oxide (TU-2063-49).

Synthesis (using firing) is carried out at  $t = 1380-1400$  degrees C. Final firing at  $t = 1400$  degrees C. Polarization in a hot oil bath at a temperature above the Curie Point.

Fundamental data on the piezoceramic.

- (1) Density - 5.7 gr/cm<sup>3</sup>.
- (2) Curie Point - + 123 degrees C.
- (3) Tangent of the angle of dielectric loss (at room temperature) 0.03-0.05.
- (4) Dielectric permeability (at room temperature) 1200-1400.
- (5) Piezomodule  $d_{33} = 3.6 \times 10^{-6}$ .

Университет Нauk CCCP



Electron-acoustic  
convertor of sonic  
representations



ЭЛЕКТРОННО-АКУСТИЧЕСКИЙ



ПРЕОБРАЗОВАТЕЛЬ



ЗВУКОВЫХ ИЗОБРАЖЕНИЙ



Акустический институт

Институт металургии

им. А. А. Байкова



## ЭЛЕКТРОННО-АКУСТИЧЕСКИЙ ПРЕОБРАЗОВАТЕЛЬ ЗВУКОВЫХ ИЗОБРАЖЕНИЙ

Электронно-акустический преобразователь звуковых изображений позволяет увидеть картину ультразвукового поля, сфокусированного на его поверхность. От других извешенных методов отличается чрезвычайно большой чувствительностью. Для его работы достаточно паденность ультразвукового поля всего в  $10^{-8}$ – $10^{-9}$  Вт/см<sup>2</sup>.

Большая чувствительность прибора обусловлена тем, что звуковое изображение преобразовывается им в телевизионный сигнал, который может быть усилен до необходимой величины.

Преобразователи могут быть изготовлены на любую частоту в диапазоне  $0,3$ – $1$  МГц.

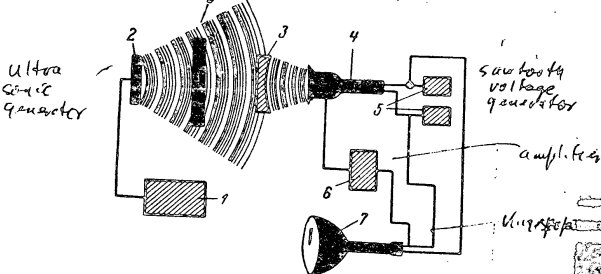


Схема визуализации явлений в непрерывных для съета материалах с помощью электронно-акустического преобразователя:

1 – объект исследования; 2 – генератор электрических колебаний японской частоты; 3 – ультразвуковой излучатель; 4 – электронно-акустический преобразователь; 5 – генератор пилообразного напряжения строчной и кадровой частот; 6 – усилитель сигналов преобразователя; 7 – кинескоп, на котором можно наблюдать изображение.

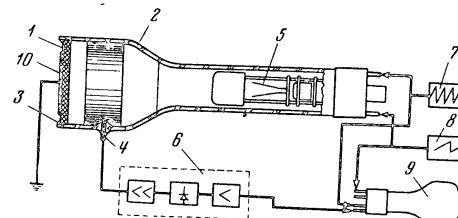
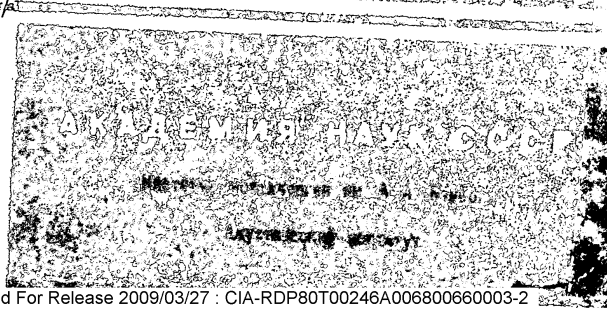


Схема включения электронно-акустического преобразователя:

1 – вакуумная пушка; 2 – магнитный линзопомощь; 3 – вакуумное изображение; 4 – коллектор; 5 – электронная пушка; 6 – усилитель; 7 – генератор строчной развертки; 8 – генератор кадровой развертки; 9 – кинескоп.

Звуковое изображение фокусируется на пластинах 1, что приводит к появлению на ее внутренней поверхности, соответствующего звукового изображения.

Электронный луч, создаваемый электронной пушкой 5, сканирует элементы пластины 1, выбывая из нее. Количество вторичных электронов, достигающих пластины, зависит от заряда сканируемого элемента, создаваемого изображением. Ток коллектора усиливается усилителем 6 и подается к кинескопу 9, луч которого движется ЗАП и создает видимое изображение ультразвука.



Изображение двух объектов в изображении экрана.

### Electron-Acoustic Converter of Sonic Images

An electron-acoustic converter of sonic images permits the visual observation of a picture of an ultrasonic field focussed on its surface. This method is distinguished from other well-known methods by its much greater sensitivity. An ultrasonic field with an intensity of  $10^{-8}$  to  $10^{-9}$  watt/cm<sup>2</sup> is sufficient for its operation.

The great sensitivity of the apparatus results from the fact that the sonic image is converted into a television signal which may be amplified to the necessary magnitude.

The converter may be constructed for any frequency in the wave band 0.3 - 1 mc.

#### Left figure -

Diagram illustrating the visual observation of ~~the~~ heterogeneities in opaque materials with the aid of an electron-acoustic converter:

0 - object under study; 1 - high frequency generator; 2 - ultrasonic radiator; 3 - sonic lense; 4 - electron-acoustic converter; 5 - sawtooth voltage generator of line and frame frequency; 6 - image signal amplifier; 7 - scope on which the image of the defect is seen.

#### Center figure -

Diagram of the components of an electron-acoustic converter:

1 - piezoelectric plate; 2 - housing; 3 - vacuum tight seal; 4 - collector; 5 - electron gun; 6 - amplifier; 7 - generator; 8 - generator; 9 - kinescope.

The sonic image is focussed on the piezoelectric plate 1 which leads to the appearance on its interior side of an electric image corresponding to the sonic image.

The electron beam created by the electron gun 5 alternately scans the elements of the plate 1 and drives out secondary electrons from it. The number of secondary electrons which reach the collector 4 depends on the charge of the scanning element created by the sonic image. The current of the collector is amplified by an amplifier 6 and is fed to the kinescope 9, the beam of which is synchronized with the beam of the electron-acoustic converter and creates a visual image of the ultrasonic field.

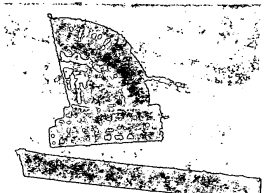
#### Right figure -

Image of two holes in an opaque screen.

Approved For Release 2009/03/27 : CIA-RDP80T00246A006800660003-2

16  
Alexander  
Fayez

Academy of Sciences



СТЕРЖНЕВОЙ  
ПЬЕЗОЦИКЛ

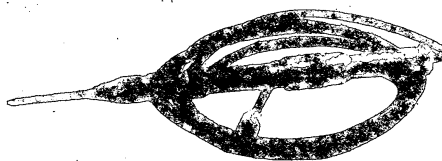
Pogo sensor beam

Rig. 24

Institute of Acoustics

Акустический институт

Approved For Release 2009/03/27 : CIA-RDP80T00246A006800660003-2  
**СТЕРЖНЕВОЙ ПЬЕЗОЩУП**



Назначение щупа — измерение акустических давлений в жидкостях в диапазоне 8—40 кПа при отсутствии кавитации. Пьезо преобразователем в щупе служит пальмовый цилиндр из керамики титаната бария, поляризованный по толщине. Преобразователь расположен на стальном стержне диаметром 3 мм, служащим акустическим волноводом.

Чувствительность щупа — 0,03—0,15 мкв/бар. Щуп работает совместно с ламповым вольтметром МВЛ-2 (или ЛВ-9).

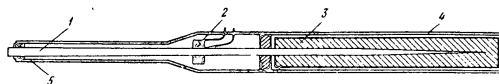
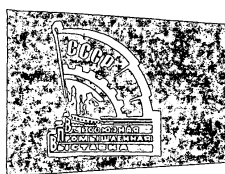
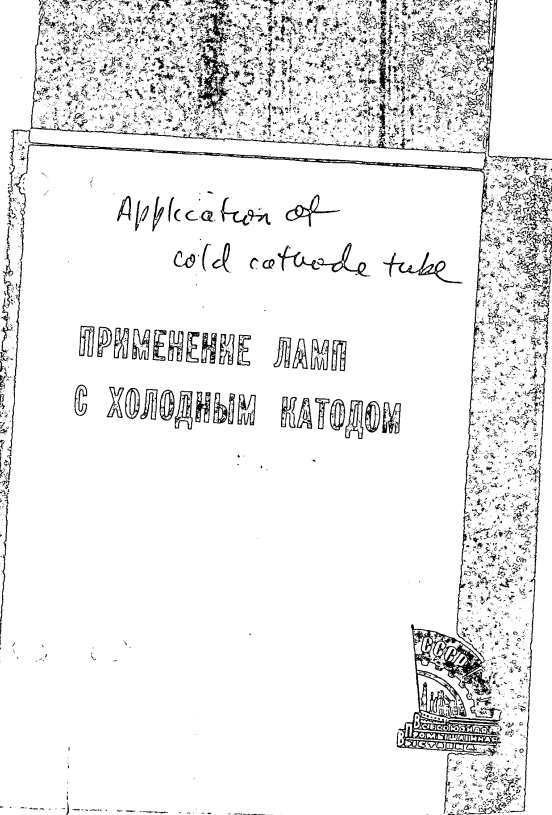
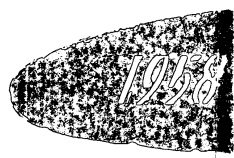


Схема стержневого пьезощупа:  
1 — металлический стержень; 2 — пьезоэлектрический преобразователь; 3 — поглотитель; 4 — герзус; 5 — экран



Физический институт  
им. П. И. Лебедева

Художественный репр.  
№ 2 Т-05098 24.VI.1958 г.  
2-я типография Издательства

Approved For Release 2009/03/27 : CIA-RDP80T00246A006800660003-2

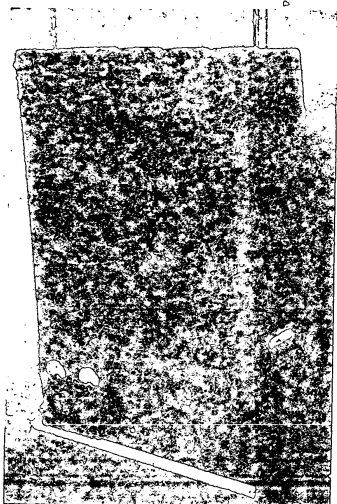


Рис. 9. Электронная вычислительная установка СМК-3 для автоматизации процесса измерения энергии и массы ядерных частиц.

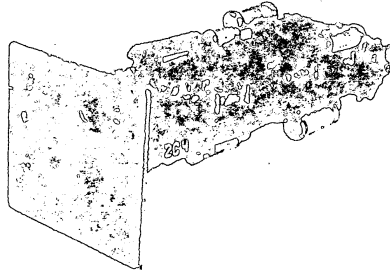


Рис. 10. Один из блоков электронной вычислительной машины «Урал» на лампах с холодным катодом.

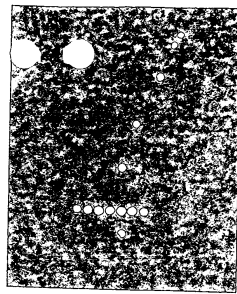


Рис. 3. Годоскопический кадр, на котором виден след проникающей частицы, вызвавшей электронно-ядерный ливень.

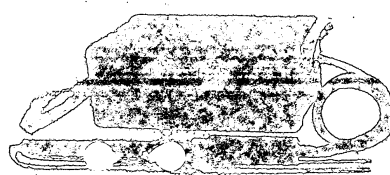


Рис. 4. Автоматический радиометрический пересчетный прибор ПК-106 с коэффициентом пересчета 10 000.

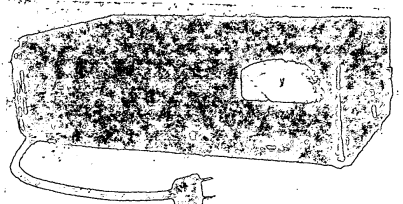


Рис. 5. 10-канальный анализатор амплитуд импульсов типа АК-1.

Approved For Release 2009/03/27 : CIA-RDP80T00246A006800660003-2

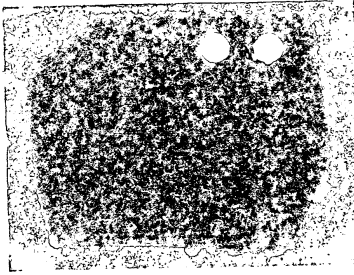


Рис. 6. Счетчик-хронограф  
(электронный миллисекундомер) МСК-2.

камя является то, что свечение ламп с холодным катодом наглядно характеризует работу каждой лампы в отдельности и позволяет буквально с одного взгляда судить о состоянии и работе сложных многоголовых устройств без дополнительной контрольной аппаратуры.

Впервые лампы с холодным катодом получили самостоятельное применение в импульсной аппаратуре для изучения космических лучей в 1947—1948 гг., когда в Физическом институте им. П. Н. Лебедева Академии наук СССР был разработан метод стабилизации работы и повышения чувствительности ламп, а также уменьшения их инерции.

Использование ламп с холодным катодом дало возможность

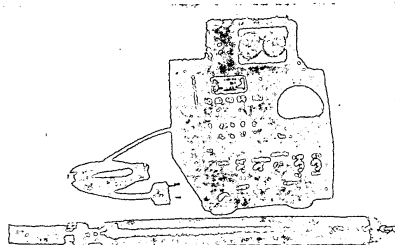


Рис. 7. Компактный радиометрический пересчетный прибор БК-3.

создать большое количество приборов, часть которых освоена заводом «Физэнергбюро» в сотрудничестве с Физическим институтом АН СССР. На выставке представлена серия приборов, в которых используются лампы с холодным катодом. Например, приборы БК-3, ПК-105 и другие предназначены для подсчета количества ядерных частиц и позволяют таким путем с высокой точностью определять интенсивность радиоактивного излучения.

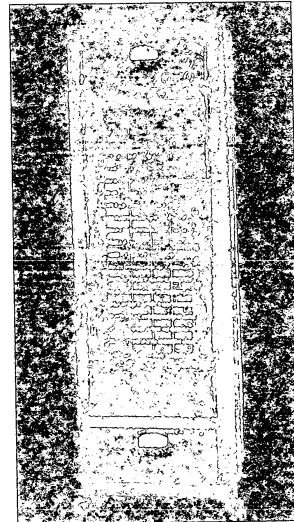


Рис. 8. Быстро действующий многоканальный анализатор БМА-50, содержащий 1500 ламп с холодным катодом.

Эти приборы могут применяться, в частности, при дозиметрических измерениях.

Мощным орудием физических исследований является быстродействующий многоканальный анализатор БМА-50, позволяющий измерять не только число частиц, но и их энергию. Анализатор дает спектр энергий, т. е. указывает количество частиц разных энергий.

Approved For Release 2009/03/27 : CIA-RDP80T00246A006800660003-2



Рис. 1. Счетное устройство ПК-10А, содержащее 750 ламп и потребляющее 15 вт.

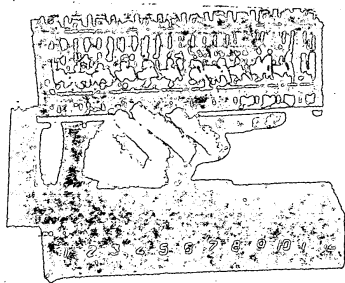


Рис. 2. Секция геодескопа ГKh-7, содержащая 12 схем двойных совпадений.

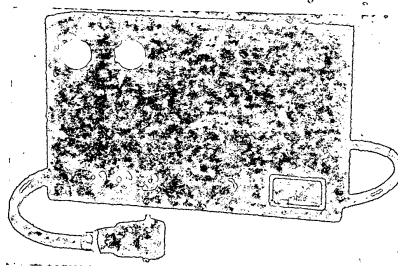


Рис. 11. Кольцевой реверсивный счетчик РСК-1.

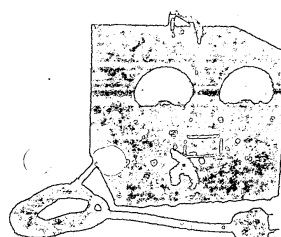


Рис. 12. Компактный стабилизированный выпрямитель СВК-1.

Для многих работ по исследованию космических лучей необходимы большие геодескопы — приборы, содержащие сотни и тысячи счетчиков частиц и ламп, которые позволяют наблюдать распределение частиц космических лучей в пространстве и изучать их поглощение и взаимодействие.

Лампы с холодным катодом нашли применение также в ряде устройств автоматики и вычислительной техники, например в блоках электронной вычислительной машины «Урал».

Approved For Release 2009/03/27 : CIA-RDP80T00246A006800660003-2